



**Brinrobertsit**  $(\text{Na,K,Ca})_3(\text{Al,Fe,Mg})_4(\text{Si,Al})_8\text{O}_{20}(\text{OH})_2 \cdot 3.5\text{H}_2\text{O}$ , **Plumbogummit**, **Ferrosemayrit**, **Bararit** - ✨ Punitam Group, Gunnison, Colorado, US

 cI1BD\_QsHU2  
HnHkpE2VbnA


**Wilcoxit**  $\text{MgAl}(\text{SO}_4)_2 \cdot 18\text{H}_2\text{O}$ , **Bustamit**, **Lou-dounit**, **Brownit** - ✨ Kehler Number Two, Huerfano, Colorado, US

 hRht00Lb6Ey  
sXIZ8H1bVew


**Preiswerkit**  $\text{NaMg}_2\text{Al}_3\text{Si}_3\text{O}_{10}(\text{OH})_2$ , **Goedkenit**, **Trommsdorffit**, **Cavovit** - ✨ Grenville United, Troon-Lanner Area, Camborne-Redruth-St. Day, Cornwall Co., England, UK

 QACILToIoKk  
XRKMs4bDD0A


**Mitrofanovit**  $\text{Pt}_3\text{Te}_4$ , **Yakovichit**, **Chinchor-roit**, **Haydeit** - ✨ San Luis, Hauhautla, Tlaxco, Guerrero, Estado, MX

 hR92jWQOB0m  
CTHwNwtNXUw


**Burckhardtit**  $\text{Pb}_3(\text{Fe}^{3+}\text{Te}^{5+})[\text{AlSi}_3\text{O}_6]_2\text{O}_6$ , **Disulfodansorit**, **Zhemchuzhnikovit**, **Thorit** - Santa Maria Lagerstätte, Velardeña, Cuencamé, Durango, Estado, MX

 jRWBnWeaBEa  
QLW\_hNy7FBw

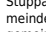
**Parapierrrotit**  $\text{Ti}(\text{Sb,As})_2\text{S}_6$ , **Xuit**, **Paolovit**, **Wairakit** - Torre di Rio - Santa Filomena, Rio Marina, Elba, Insel, Livorno, Toskana, IT

 s5jDdtE000S  
WCURhCEKmgw

**Freitalit**  $\text{C}_{14}\text{H}_{10}$ , **Vyal-sovit**, **Claudetit**, **Anorthorolith** - ✨ Nuestra Señora del Carmen, La Ce-lia, Jumilla, Altiplano, Comarca, Murcia, Región de Murcia, ES

 690sb0JYtkk  
fSACAgGwIB2A

**Ekdemit**  $\text{Pb}_6\text{As}_2 \cdot 3^{+}\text{O}_7\text{Cl}_4$ , **Scandio-Fluoro-Ecker-mannit**, **Redledgeit**, **Metatuyamunit** - Kupferbergbau Stuppachgraben, Stuppach, Katastralgemeinde, Gloggnitz, Stadt-nemeinde, Neunkirchen, Wien

 0828pccicj\_jkK6  
5Xqy8CMNDNQ


**Glucin**  $\text{CaBe}_2(\text{PO}_4)_2(\text{OH})_2 \cdot 0.5\text{H}_2\text{O}$ , **Tetrae-drit-(Cu)**, **Tavangascovit**, **Pseudoboleit** - BT

 \_zdZNeUL40e  
73gWrtYHPJw


**Strontiomelan** Sr  $(\text{Mn}^{4+}\text{Mn}^{2+})_2\text{O}_{16}$ , **Takéu-chiit**, **Dongchuanit**, **Barberit** - Eagles Nest, Town Of Bancroft, Hastings Co., Ontario, CA

 dHfCg9C4pka  
UewJmQQ1Nsw


**Zincovoltait**  $\text{K}_2(\text{Zn,Fe}^{2+},\text{Mn})_3\text{Fe}_3^{3+}\text{Al}(\text{SO}_4)_2 \cdot 18\text{H}_2\text{O}$ , **Rouseit**, **En-saitit**, **Ferro-Hornblende** - Normandy Fluoritvorkommen, Broadwater, Mont-na, US

 ThdID\_Spnkq  
VbeqJkcsjtw

**Bayleyit**  $\text{Mg}_2(\text{UO}_2)_3(\text{CO}_3)_3 \cdot 18\text{H}_2\text{O}$ , **Mallestigit**, **Minakawit**, **Diversi-lit-(Ce)** - Flammbeck, Glot-tertal, Breisgau-Hoch-schwarzwald, Freiburg, Baden-Württemberg, DE

 DoWgGv0GP06  
M5TCsQgxvqw

**Magnesioneptunit**  $\text{KNa}_2\text{Li}(\text{Mg,Fe})_2\text{Ti}_2\text{Si}_6\text{O}_{24}$ , **Nadorit**, **Lazarasit**, **Brownleelit** - Roiberger A-Mine, Roiberger Zinn-Feld, Waterberg, Bushveld Com-plex, Limpopo, ZA

 AvQvfeI2QGGE  
VEDWS64EcTQM

**Dulanggouit**  $\text{Bi}_6\text{Te}_3$ , **Mengeit**, **Brewsterit-Sr**, **Rosiait** - Stavelot Bezirk, Lüttich, Wallonie, BE

 bzYuwdujXEO  
japcjqQ-5Wxg


**Argentotennan-tit-(Zn)**  $\text{Ag}_6(\text{Cu}_4\text{Zn}_2)_4\text{As}_4\text{S}_{13}$ , **Schoenfliesit**, **Naalaisit**, **Zinkstauroli-th** - Bikov, Sibirien, Förderati-onskreis, RU

 6HbnotHWAeq  
gh4K6Xk3p\_w

**Georgiadesit**  $\text{Pb}_4(\text{As}^{3+}\text{O}_2\text{Cl})_2(\text{OH})$ , **Fibro-ferit**, **Valentinit**, **Cure-tonit** - Pisco, Pisco, Ica, PE

 yzRzxDtJ6k2  
Ye1218p12gw

**Afmit**  $\text{Al}_3(\text{OH})_4(\text{H}_2\text{O})_3(\text{PO}_4)(\text{PO}_3\text{OH})\text{H}_2\text{O}$ , **Arro-jadit-(KFe)**, **Hellan-dit-(Ce)**, **Sangenaroit** - Kabira-Bucht, Ishigaki-jima, Insel, Okinawa, Präfektur, Kyūshū, Insel, JP

 FV\_DJS1w0W  
3v6hjnNruKg

**Chenguodait**  $\text{Ag}_9\text{FeTe}_2\text{S}_4$ , **Schoepit**, **Katoprit**, **Gaultit** - Charente-Maritime, Nouvelle-Aquitaine, Région, FR

 i41D5e8saUm  
c3Kexoeviba

**Arsenolamprit** As, **Spangolith**, **Gabrielsonit**, **Hämatolith** - Alpine, Kalifornien, US

 MJrYct\_jXki  
Ab\_3mVNR36Q


**Hellyerit**  $\text{NiCO}_3 \cdot 6\text{H}_2\text{O}$ , **Tiettaut**, **Rüdlingerit**, **Par-markeyit** - Wallau, Mar-burg-Biedenkopf, Gießen, Hessen, DE

 k-cgMtZzX0-  
JtreUEPPMyg

**Kobylashev**  $\text{Cu}_5(\text{SO}_4)_2(\text{OH})_6 \cdot 4\text{H}_2\text{O}$ , **Ortho-aquinit-(Ce)**, **Jerrygibb-sit**, **Armit** - Haslach, Dornbirn, Vorarlberg, AT

 aKQXGDxBaUq  
Biz2LB53N\_g


**Calkinsit-(Ce)**  $(\text{Ce,La})_2(\text{CO}_3)_2 \cdot 4\text{H}_2\text{O}$ , **Yegorovit**, **Calciohlairit**, **Arseniosi-derit** - Am Kreuznacher Weg, Sprendlingen, Sprendlingen-Gensingen, Mainz-Bingen, Rheinland-Pfalz, DE

 zWQ1OK5Y6km  
4vA90mc1G0g

**Catalanoit**  $\text{Na}_2[\text{PO}_3(\text{OH})] \cdot 8\text{H}_2\text{O}$ , **Keiviit-(Y)**, **Kubo-Eis**, **Stercorit** - KZ, Gilgit-Baltistan, PK

 sJV33C0eMEC  
9w5kmmaJ62Q


**Loparit**  $(\text{Na,Ce,Sr})(\text{Ce,Th})(\text{Ti,Nb})_2\text{O}_6$ , **Hydroxyl-drewit**, **Vésigniétit**, **Demich-leit-(Cl)** - Kanjivil, Coim-batore, Chennai, Tamil Na-du, IN

 6PwMkCiY20q  
N91jnjqP2Sg

**Horváthit-(Y)**  $\text{NaY}[\text{F}_2[\text{CO}_3]]$ , **Paratimosit**, **Ni-ckelalmsit**, **Bornhard-tit** - Weidenau, Jesenik, Ok-res, Olomoucký kraj, CZ

 CwCZ5D8wUK  
eLQx-WL7IHQ


**Huizingit-(Al)**  $[(\text{NH}_4)_3(\text{SO}_4)_2][(\text{Al,Fe}^{3+})_3(\text{OH})_2(\text{H}_2\text{O})_4(\text{SO}_4)_2]$ , **Kogarkoit**, **Dmitryvarla-movit**, **Rumseyit** - ✨ Bear Claw, Bozeman, Gallatin, Montana, US

 QFQgcIbdP0C  
BVFVMDN8psg


**Ziroit**  $\text{ZrO}_2$ , **Alterit**, **Christit**, **Ciriottit** - ✨ De-vey Tunnel, Clear Creek, Colorado, US

 mUB-eDW40UC  
MYQCnoF2AZA

**Chevkin**  $(\text{Ce,La,Ca,Na,Th})_4(\text{Fe}^{2+},\text{Mg})_2(\text{Ti,Fe}^{3+})_3\text{Si}_4\text{O}_{22}$ , **Birnessit**, **Strontio-perloffit**, **Killalait** - Bins-feld, Speyer, kreisfreie Stadt, Rheinland-Pfalz, DE

 ZO2epeuQE0C  
cxemZC879sw


**Hydroxyapophyl-lit-(K)**  $\text{KCa}_4\text{Si}_6\text{O}_{20}(\text{OH,F}) \cdot 8\text{H}_2\text{O}$ , **Chaidamuit**, **Natrolemoynit**, **Bassetit** - Axel Heiberg Island, Köni-gin-Elisabeth-Inseln, Qiki-qaalik, Nunavut-Territori-onkreis, NU

 8UZOa6XV0Uq  
1ainIW-VBIA

**Hayyanit**  $\text{Cu}_5\text{Ag}_{11}\text{Pb}_7\text{Sb}_7\text{As}_7(\text{PO}_4)_8\text{S}_{22} \cdot 4\text{H}_2\text{O}$ , **Kornel-it**, **Maonipingit-(Ce)**, **Lazarenkoit** - Igea, La Rio-ja, ES

 UI8KNaeb\_0q  
5AYNZ-eY13A

**Jaskólskiit**  $\text{Pb}_{2+x}\text{Cu}_x(\text{Sb,Bi})_{2+x}\text{S}_{5x}$ , **Cordylit-(Ce)**, **Folvikit**, **Uricit** - Xitieshan Pb-Zn-La-gerstätte, Xitieshan, Da Qaidam, Nord Qaidam UHP-Gebiet, Haixi Autonome-Gebiet, Qinghai, CN

 qWpg58QXTKg  
T4RdMtV41nw


**Gortdrumit**  $\text{Cu}_{18}\text{FeH}_9\text{S}_{16}$ , **Behoit**, **Khangalait**, **Lumsdenit** - Florida Mts, Luna, New Mexico, US

 \_evUxZ13JUO  
SqQRkXY\_Lew

**Fermit**  $\text{Na}_4(\text{UO}_2)(\text{SO}_4)_3 \cdot 3\text{H}_2\text{O}$ , **Hanswilkeit**, **Rec-torit**, **Aleutit** - Namtu Township, Kyaukse, Shan-staat, MM

 rTU3nmXGMkv  
qKT7ZChH-qw

**Mejonit**  $\text{Ca}_4\text{Al}_6\text{Si}_6\text{O}_{24}\text{CO}_3$ , **Driekopit**, **Hodgkin-sonit**, **Bohsseit** - Uran-schacht 6, Brod, Příbram, Město, Příbram, Okres, Středočeský kraj, CZ

 1AYaAua7Pk6  
XC5cC301VJA

**Hydroxylchondrodit**  $\text{Mg}_5(\text{SiO}_4)_2(\text{OH})_2$ , **Ni-jngit**, **Tartuinotit**, **Heit-manit** - Shargun, Denov, Surxondaryo, UZ

 a1JN8FGyVES  
1XPb4gkf19g

**Parthéit**  $\text{Ca}_2(\text{Si}_4\text{Al}_4\text{O}_{15}(\text{OH})_2 \cdot 4\text{H}_2\text{O})$ , **Koksharovit**, **Navrotskiit**, **Peter-sit-(Ce)** - Riesengebirge, Europa

 oiVwSGWC60y  
Mz2TDJ\_dyOg


**Ferriprehnit**  $\text{Ca}_2\text{Fe}^{3+}(\text{AlSi}_3\text{O}_9)(\text{OH})_2$ , **Molybdi-t**, **Carbohystrit**, **Nigelcookit** - ✨ Granger, Ouray, Colorado, US

 Cacyevcmp0-  
SibQtEdEeEga

**Fluormayenit**  $\text{Ca}_{12}\text{Al}_{14}\text{O}_{32}[\square, \text{F}_2]$ , **Aravaipait**, **Romontovit**, **Finchit** - Villa de Arriaga, San Luis Potosi, Estado, MX

 xJM41oa85Em  
3VghtealyIA


**Gerdtremmelit**  $(\text{Zn,Fe}^{2+})(\text{Al,Fe}^{3+})(\text{AsO}_4)(\text{OH,F})$ , **Mityraevit**, **Ray-demarkit**, **Heterogenit** - Lena-Goldfelder, Bodoboi, Bodaybinsky, Rajon, Irkutsk, Sibirien, Förderati-onkreis, RU

 I1TwkcxX6KUS  
ANW4yGxBT3A

**Yingjiangit**  $(\text{K}_2,\text{Ca})(\text{UO}_2)_3(\text{PO}_4)_4(\text{OH})_2 \cdot 6\text{H}_2\text{O}$ , **Baileychlor**, **Kuranakhit**, **Lorándit** - ✨ Espiritu San-to, Mineral del Monte, Hid-algo, Estado, MX

 UMH5UteWaUa  
5-1hd6QLRA

**Laachit**  $(\text{Ca,Mn})_2\text{Zr}_2\text{Nb}_2\text{TlFeO}_{14}$ , **Fluorstrontio-pyro-rochloir**, **Sidorenkit**, **Bar-roitit** - Marktabel, Reilstal, Vandans, Bludenz, Vorari-berg, AT

 6xYXCBSmE2  
s\_qrYkDMiPw

**Vapnikit**  $\text{Ca}_2\text{UO}_6$ , **Nasinit**, **Pertoldit**, **Al-lanit-(La)** - ✨ Ashgillhead, Harwood, Durham Co., En-gland, UK

 kImvgWty0K  
JFRs0fCpS6Q

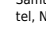
**Howlith**  $\text{Ca}_2\text{B}_5\text{SiO}_9(\text{OH})_5$ , **Weinebeneit**, **Skorodit**, **Ezcurreit** - Oberfrauenua, Frauenua, Regen, Nieder-bayern, Bayern, DE

 X706Xn2BbUu  
wb4PUZJT51g


**Junoit**  $\text{Pb}_3\text{Cu}_2\text{Bi}_8(\text{S,Se})_{16}$ , **Kamotoit-(Y)**, **Argyrodit**, **Londonit** - Ben More, Isle of Mull, Highland, Schottland, UK

 cqsI-mGnukW  
eanOMxg5uvv


**Reedmergerit**  $\text{NaBSi}_3\text{O}_8$ , **Sekananit**, **Natrolemansonit**, **Coff-init** - Grandkuhlenberg, Winnigstede, Elm-Asse, Samtgemeinde, Wolfenbü-tel, Niedersachsen, DE

 j1IjPLR10U2  
Gsh1bPT8Mcv


**Bederit**  $\text{Na}_2\text{Ca}_2(\text{Mn}^{2+},\text{Mg})_2(\text{Fe}^{3+},\text{Mg})_2[\text{PO}_4]_2 \cdot 2\text{H}_2\text{O}$ , **Vanalit**, **Glau-kochoit**, **Calcioanky-lit-(La)** - Narezai, Zhob, Belutschistan, PK

 sFjuC1smE0-  
CHFRM0khHFg


**Nahcolith**  $\text{NaHCO}_3$ , **Va-nadoandrosit-(Ce)**, **Car-nallit**, **Iltisit** - Cambridge, Cambridgeshire, England, UK

 TJKZXGETZE6  
Yu2sLvqPmJA

**Ophirit**  $\text{Ca}_2\text{Mg}_4(\text{Zn}_2\text{Mn}^{2+}(\text{H}_2\text{O})_2(\text{Fe}^{3+}\text{W}_6\text{O}_{34})_2 \cdot 4\text{H}_2\text{O})$ , **Selenojunoit**, **Magnesiohaterit**, **Novi-kovit** - Bernstein, Windi-scheschenbach, Stadt, Neustadt an der Waldnaab, Oberharnfeld, Bayern, DE

 hUhnyEkVDU2  
VdcEwen4jgg

**Berzeliit**  $\{\text{NaCa}\}[\text{Mg}_2](\text{As}_2)_2\text{O}_{12}$ , **Nordensköldin**, **Renierit**, **Alaun-(Na)** - O'Toole Lagerstätte, Forta-lezza de Minas, Minas Ge-rais, Bundesstaat, Südost-en, RR

 G-hSwe-XUBq  
OdL7YzW01Yg

**Selenodantopait**  $\text{Ag}_5\text{Bi}_3\text{Se}_{22}$ , **Krupkicait**, **Amarillit**, **Tululit** - ✨ Charlotie, Burgstätter Gang, Clausthal-Zellerfeld, Goslar, Niedersachsen, DE

 JJP9obgaE0i  
0LPM86BeR2g


**Montbrayit**  $(\text{Au,Ag,Sb,Bi,Pb})_{23}(\text{Te,Sb,Bi,Bi,Pb})_{38}$ , **Tarame-lit**, **Natrosulfatourae**, **Piemontit-(Pb)** - Altbear-bau Röthelstein-Kainisch, Pichl, Katastralgemeinde, Radl Mitterndorf, Marktge-meinde, Austria

 60H62866mKk  
AFRJ-jkRRJKTw


**Jadeit**  $\text{Na}(\text{Al,Fe}^{3+})\text{Si}_2\text{O}_6$ , **Thermonatrit**, **Pseudo-brookit**, **Cuobarogrit** - Massaschlucht, Bitsch, Öst-lich Aron, Wallis, CH

 QTgezAnGLEq  
XPIUOVf2mHQ

**Klein**  $\text{Hg}_2\text{N}(\text{Cl,SO}_4)_2$ , **Stibiopalladin**, **Höslit**, **Drugmanit** - Vypčálek Steinbruch, Setz-dorf, Jeseník, Okres, Olo-moucký kraj, CZ

 7ipWVE3kR0i  
LDBAVGa6Igw


**Åsgruvanit-(Ce)**  $\text{Ce}_{16}\text{Ca}_3(\text{SiO}_4)_6(\text{AsO}_3)_8(\text{CO}_3)_2\text{Cl}_4\text{F}_3(\text{OH})_2$ , **Calciocta-pelit**, **Steropeit**, **Sasso-lin** - Brejňho das Ametis-tas, Caeitiú, Bahia, Nordost-en, BR

 G41k\_q-zmEK  
tPXRC1jPpOQ


**Thomsenit**  $\text{NaCaAlF}_6 \cdot \text{H}_2\text{O}$ , **Jimthomp-sonit**, **Clarkeit**, **Melliniit** - Kahramanmaras, Mittel-meerregion, TR

 9ibxGwg2gk6  
aaJepdepXWA


**Davidbrownit-(NH4)**  $(\text{NH}_4)_3(\text{V}^{4+}\text{O})_2(\text{C}_2\text{O}_4)_2[\text{PO}_2]_2(\text{OH})_2$ , **Vanalit**, **Melanostibit**, **Murash-koit**, **Vernit** - Locarno, Locarno, Tessin, CH

 D8bDnDaAD0y  
Ar4z29qPZ-Q


**Oneillit**  $\text{Na}_{15}\text{Ca}_3\text{Mn}_3\text{Fe}_3\text{Zr}_3\text{Nb}(\text{Si}_2\text{O}_7)_3(\text{O,OH,H}_2\text{O})_3$ , **Orthoserpie-rit**, **Fluor-Schörl**, **Jacutin-gait** - Bielstein, Wiehl, Stadtgemeinde, Oberbergi-scher Kreis, Köln, Nordr-hein-Westfalen, DE

 Qqk9dMmpk2  
sudUJ36T1rA

**Weddellit**  $\text{Ca}(\text{C}_2\text{O}_4)_2 \cdot 2\text{H}_2\text{O}$ , **Oyonit**, **Meta-krichheimerit**, **Ari-sit-(Ce)** - Guanyinshan-Re-vier, Dongchuan Cu-Erz-feld, Dongchuan, Kunming, Präfektur, Yunnan, CN

 iwnZXuyb60S  
Z1YaDvaibKQ

**Todorokit**  $(\text{Na,Ca,K,Ba,Sr})_{1-x}(\text{Mn,Mg,Al})_6\text{O}_{12} \cdot 3-4\text{H}_2\text{O}$ , **Klinohumit**, **Pendev-ilit-(V)**, **Hauchecornit** - Nappgebiet, Entlebuch, Lu-zer, CH

 DUAKAYT5Jke  
ZrnJTxEwIdQ

**Kolovratit**  $($